

## بررسی تاثیر نانورس (مونت موریلوبونیت) بر ویژگی‌های نفوذپذیری به بخار آب، زاویه تماس و خواص حرارتی فیلم نانوکامپوزیتی بر پایه کربوکسی متیل سلوولز- پلی وینیل الکل

لیلا ابوالقاسمی فخری<sup>۱</sup>- بابک قنبرزاده<sup>۲\*</sup>- جلال دهقان نیا<sup>۳</sup>- علی اکبر انتظامی<sup>۴</sup>

تاریخ دریافت: ۱۳۹۰/۵/۱۸

تاریخ پذیرش: ۱۳۹۱/۷/۲۹

### چکیده

ویژگی آب دوستی بالا، یکی از مهمترین مشکلات پلاستیکهای بسته‌بندی بر پایه بیopolymerهاست و ترکیب آنها با پلیمرهای سنتزی سازگار با آنها و استفاده از نانوذراتی مانند نانورس به عنوان پرکننده، روشهای بهبود دهندهای هستند که در سالهای اخیر مورد توجه گستردهای قرار گرفته‌اند. یکی از ارزانترین بیopolymerها که کاربرد گسترده‌ای در صنعت دارد، کربوکسی متیل سلوولز (CMC) است و پلیمر سنتزی پلی وینیل الکل (PVA) به عن داشتن ماهیت قطبی، سازگاری خوبی با بیopolymerها نشان میدهد. در این پژوهش فیلم نانوکامپوزیت کربوکسی متیل سلوولز (CMC)-پلی وینیل الکل (PVA) حاوی مقادیر ۳ تا ۱۰ درصد نانورس مونت موریلوبونیت (MMT) با استفاده از روش قالب گیری تولید شدند. بررسی ساختار فیلمهای نانوکامپوزیت با استفاده از آزمون پراش اشعه X (XRD) حاکی از ساختار لایه لایه<sup>۵</sup> فیلمها در تمام غلظت‌های نانورس بود. نانوکامپوزیت‌های حاوی ۱۰٪ نانورس، ۲۹/۰۶ درصد کاهش در نفوذپذیری نسبت به بخار آب را نسبت به فیلم آلیاژی نشان دادند. کمترین ویژگی آب دوستی سطحی در فیلم های حاوی ۱۰ درصد نانوذره با زاویه تماس اولیه برابر با ۶۵/۱ درجه مشاهده شد. نتایج کالریمتری روشی افتراقی (DSC) نیز افزایش  $T_g$  فیلم حاوی ۳ درصد نانورس را در مقایسه با فیلم فاقد MMT نشان داد و در مقادیر بیشتر نانوذره (۵، ۷ و ۱۰ درصد) پدیده انتقال شیشهای در فیلمها مشاهده نشد.

### واژه‌های کلیدی:

فیلم زیست تخریب پذیر، کربوکسی متیل سلوولز، پلی وینیل الکل، نانورس، نانوکامپوزیت

### مقدمه

می‌باشند. سلوولز فراوانترین بیopolymer موجود در طبیعت است. به دلیل فراوانی، سهولت تولید، تجدیدپذیری منابع تولید، قیمت کم و زیست- تخریبپذیری بالا، توجه به استفاده از این بیopolymer در تولید مواد بسته‌بندی، بصورت روزافزون در حال افزایش است. کربوکسی متیل سلوولز (CMC) یکی از مشتقات سلوولز بوده و بیopolymerی خطی و محلول در آب است. CMC توانایی تشکیل فیلمهای مقاوم، شفاف، پیوسته و یکنواخت را دارد (Choi & Simonsen, 2006). تاکنون مطالعات متعددی بر روی ویژگی‌های فیلمهای حاصل از مشتقات سلوولز و از جمله کربوکسی متیل سلوولز انجام یافته است (Ayrancı & Tunc, 2001, Mohanty *et al.*, 2000, Simon *et al.*, 1998, Debeaufort & Voilley, 1997, Park *et al.*, 1993) مطالعات نشان داده است که فیلمهای تهیه شده از CMC دارای مقاومت مکانیکی متوسطی بوده و به نفوذ روغنهای مقاومند. همچنین شفاف، فاقد بو و طعم میباشند (Park *et al.*, 1993). مطالعات نشان داده است که هر چند نفوذپذیری و حساسیت نسبت به رطوبت فیلم - های CMC و دیگر فیلمهای حاصل از مشتقات سلوولزی در مقایسه

در دهه‌های اخیر، در اثر افزایش الودگی‌های محیط زیست و به دنبال آن، تدوین استانداردهای جدید توسط سازمانهای مسئول، تلاش‌های گسترده‌ای در جهت توسعه بسته‌بندی‌های بر پایه بیopolymerهای زیستتخریبپذیر و بهبود کارایی آنها صورت گرفته است. پلیمرهای زیستتخریبپذیر مورد استفاده در تولید فیلمهای زیستتخریبپذیر را میتوان به دو دسته طبیعی (بیopolymerها) و سنتزی تقسیم‌بندی کرد. پلی ساکاریدها از جمله مهمترین بیopolymerهای مورد استفاده در تولید فیلمهای زیستتخریبپذیر

۱- به ترتیب دانشجوی کارشناسی ارشد، دانشیار و استادیار گروه علوم و صنایع غذایی، دانشکده کشاورزی، دانشگاه تبریز  
۲- نویسنده مسئول: (Ghanbarzadeh@tabrizu.ac.ir)  
۳- استاد گروه شیمی پلیمر، دانشکده شیمی، دانشگاه تبریز  
۴- ۵- Exfoliation  
۶- Glass transition temperature

های نانورس در مونومرها و سپس پلیمریزاسیون این مونومرها در فضای بین لايههای سیلیکاتی است. پلیمریزاسیون به وسیله حرارت یا تابش دهنده، نفوذ یک آغازگر مناسب یا به وسیله آغازگر یا کاتالیست ثبیت شده به روش تعویض کاتیونی داخل فضای بین لايههای قبل از مرحله پخش انجام میگیرد.

**اختلاط به حالت مذاب:** فرایند اختلاط به حالت مذاب، شامل مخلوط کردن سیلیکات لايههای در حالت حرارت دهی مخلوط تا بالای محدوده نرم شدن پلیمر است. در طول فرایند حرارت دهنده، زنجیرهای پلیمری به فضای گالری بین لايههای سیلیکات نفوذ می‌کنند.

**اختلاط به حالت جامد:** در این روش مخلوط خشک نانورس و پلیمر توسط آسیاب مخصوصی که نوعی آسیاب توبی ویژه است با یکدیگر مخلوط میشوند. پس از این، مخلوط برای تولید فیلم به روش حلال یا به روش اکستروژن مورد استفاده قرار میگیرد. در سالهای اخیر، مطالعاتی چند روی خواص نانوکامپوزیتهاي بر پايه بیopolymerهای زیستخریبپذیر حاوی نانورس در ماتربیکس - Huang & Yu, 2006, Wilhelm et al., ) های پلیمری نشاسته ( Park et al., 2003, Park et al., 2003, Park et al., 2002 Xu پلی استر (Mc Glashan & Halley, 2003)، استات نشاسته ( et al., 2005)، استات سلولز (Park et al., 2004)، دی استات سلولز (Cho et al., 2004) و متیل سلولز (Lu & Mai, 2007) به سیلیکی در رابطه با اثر نرم کنندگی و افزایش ازدیاد طول تا نقطه شکست فیلم نانوکامپوزیت نشاسته - پلی وینیل الكل - مونت موریلوپیت در اثر افزودن مقادیر کم پلی وینیل الكل در فیلم، به دست آوردهاند . بهبود خواص فیلمهای پلیمری شامل بهبود در خواص مکانیکی، حرارتی و فیزیکوشیمیایی در مقایسه با پلیمرهای خالص یا کامپوزیت های معمول میباشد. افزایش مدول الاستیک و استحکام با تقویت شبکه پلیمری، کاهش نفوذپذیری به گازها، افزایش مقاومت در برابر آب و نفوذپذیری نسبت به بخار آب، تغییر در هدایت الکتریکی و مقاومت حرارتی و یا کاهش اشتغالپذیری، حتی در مقادیر بسیار کم Rhim et پرکننده (۵ درصد یا کمتر)، از جمله این بهبودها میباشد ( 2007 al., 2007). با توجه به مطالعات کتابخانهای انجام شده، اثر نانورس بر ویژگیهای پلیمر آلیاژی CMC-PVA تحقیق حاضر، بررسی اثر نانورس بر ویژگیهای مربوط به نفوذپذیری به بخار آب و خواص حرارتی پلیمر آلیاژی CMC-PVA میباشد.

## مواد و روشهای

### مواد

CMC با وزن مولکولی متوسط ۴۱۰۰۰ از شرکت کاراکام

با سایر فیلمهای بیopolymerی آب دوست کمتر میباشد، ولی در مقایسه با فیلمهای سنتزی بیشتر است (Park et al., 1993). به دلیل انعطاف پذیری کم و شکنندگی فیلمهای CMC از نرم کنندهایها به منظور افزایش انعطاف پذیری آنها استفاده میشود. در طی سالهای اخیر مطالعات زیادی بر روی بهبود خواص کاربردی فیلمهای بیopolymerی از طریق تولید فیلمهای آلیاژی با استفاده از مخلوط کردن پلیمرهای زیستخریبپذیر با بیopolymerها انجام گرفته است. پلی وینیل الكل (PVA)، فراواترین پلیمر سنتزی محلول در آب است که از پلیمریزاسیون مونومر وینیل استات به پلی وینیل استات و سپس هیدرولیز آن به پلی وینیل الكل، تولید میشود . ماهیت قطبی و قابلیت اتحلال در آب، غیرسمی بودن، استحکام کششی بالا و ویژگیهای چسبندگی مطلوب، این ترکیب را برای استفاده در Flieger et کامپوزیتهاي حاوی پلیمرهای طبیعی مناسب میکند ( Ahola et al., 2008, Bondeson et al., 2007, al., 2003 ). اکثر فیلمهای آلیاژی تولید شده، مخلوطی از بیopolymer نشاسته و یک پلیمر سنتزی میباشدند. از دهه ۱۹۸۰ میلادی، مطالعات اولیه بر روی مخلوط نشاسته - پلی وینیل الكل به منظور تولید فیلم با استفاده از Zhiqiang et al., 1999، روشن قالب گیری انجام گرفته است ( Chen et al., 1997, Otey et al., 1974 Zhiqiang et al., 1999). علاوه بر این از PVA به منظور بهبود ویژگی انعطاف پذیری Follain et al., 2005, Mao et al., 2000) نشاسته نیز استفاده شده است ( با توجه به مطالعات کتابخانهای، گزارش علمی معتبری مبنی بر بررسی تأثیر پلی وینیل الكل بر روی ویژگیهای کاربردی فیلم، یافت نشد. CMC با پیشرفت نانوتکنولوژی، مطالعه در زمینه نانوکامپوزیتهاي پلیمری سهم بزرگی از مطالعات انجام شده در راستای بهبود خواص فیلمهای پلیمری، را به خود اختصاص داده است. نانوکامپوزیتها مواد دو فازهای شامل پلیمر و پرکنندهای آلی و غیرآلی با اشکال مختلف صفحهای، کروی و لولهای که حداقل در یکی از ابعاد دارای اندازه نانومتر هستند، میباشند. به طور کلی، نانوکامپوزیتها به یکی از چهار Rhim et al., 2007, Gupta et al., 2008, Sorrentino et al., 2007 روش زیر تولید میشوند ( )

**اختلاط به حالت محلول:** اساس این روش استفاده از سیستم حلالي است که پلیمر در این حلحل قابل حل بوده و نانورس نیز در این حلحل قابل پخش باشد. با اختلاط محلول پلیمر و سوسپانسیون سیلیکات لايههای، زنجیرهای پلیمر در فضای بین لايههای سیلیکات لايههای جایگزین حلحل میشوند. پس از خشک شدن و خروج حلحل، نانوکامپوزیت پلیمر - سیلیکات لايههای حاصل میشود. پلیمریزاسیون در محل: این روش شامل پخش و توزیع لایه -

محدوده زاویه  $\theta = 10^\circ - 10^\circ / 5 = 2\theta$  جمعاًوری و نمودار مربوط به شدت بازتابش آنها، رسم گردید. سرعت انجام آنالیز  $4^\circ/\text{min}$  و اندازه گامها  $0.02^\circ$  بود. پس از رسم منحنیها و تشخیص پیک پراش،

برای تعیین فاصله بین لایه‌های از قانون براگ<sup>۱</sup> استفاده شد:

$$2d \sin \theta = \lambda \quad (1)$$

$d$ : فاصله بین لایه‌های کریستالی (nm)

$\theta$ : از روی  $2\theta$  محاسبه می‌شود.  $2\theta$  نقطه‌ای روی منحنی است که پیک پراش در آن نقطه مشاهده می‌شود.

$\lambda$ : طول موجی است که دستگاه در آن طول موج کار می‌کند  $0.154 \text{ nm}$ .

### آزمون میکروسکوپ نیروی اتمی (AFM)

برای انجام آزمون AFM از دستگاه میکروسکوپ پروفو پوشی Dualscope/ Rasterscope C26، DME (SPM) مدل (C26، DME) استفاده شد. برای ثبت تصاویر از پروفو STM با پایه کشور دانمارک (Mikromasch CSC12) و با نوک مخروطی با مستطیلی شکل (Mikromasch CSC12) پوشش پلاتینی با ثابت نیروی  $1/5 \text{ N/m} - 1/5 \text{ N/m}$  استفاده شد.

### نفوذ پذیری نسبت به بخار آب

برای اندازه‌گیری انتقال بخار آب از روش ASTM E96 (۱۹۹۵) برای این کار از ویالهای مخصوصی با قطر  $2 \text{ cm}$  استفاده شد. برای در پوش این ویالها منفذی به قطر  $4/5 \text{ cm}$  استفاده شد. در در پوش این ویالها منفذی به قطر  $8 \text{ mm}$  قرار دارد که قطعه‌ای از فیلم مورد آزمون در این قسمت قرار می‌گیرد.  $3 \text{ g}$  سولفات کلسیم در داخل ویالها قرار داده شد. قطعه ای از فیلم بریده شده و در در پوش ویال قرار گرفته و بر روی ویال بسته شد. ویالها با تمام محتواش توزین شده و درون دسیکاتوری حاوی محلول اشیاع سولفات پتاسیم قرار گرفتند. جهت اطمینان از حفظ حالت اشیاع، اجازه داده شد که مقداری رسوب سولفات پتاسیم در کف دسیکاتور ایجاد شود. سولفات پتاسیم اشیاع در دمای  $25^\circ \text{ C}$  رطوبت نسبی  $97\%$  درصد ایجاد می‌کند. دسیکاتور در درون انکوپاتور  $1^\circ \text{ C} \pm 25^\circ \text{ C}$  قرار گرفت و به مدت چهار روز هر چند ساعت یکبار تا رسیدن به وزن ثابت، وزن ویالها اندازه‌گیری شد.

مقدار بخار آب انتقال یافته از فیلمها، از روی افزایش وزن ویالها تعیین شد. منحنی افزایش وزن ویالها با گذشت زمان رسم شد و پس از محاسبه رگرسیون خطی، شیب خط حاصل محاسبه گردید. از تقسیم کردن شیب خط مربوط به هر ویال به کل سطح فیلم که در

پارسیان، PVA با وزن مولکولی متوسط  $145000$  از شرکت پویان، گلیسرول و نیترات کلسیم از شرکت مرک خریداری گردید. برای اندازه‌گیری نفوذ پذیری نسبت به بخار آب فیلمها، سولفات پتاسیم و سولفات کلسیم از همین شرکت خریداری شد. سدیم مونت موریلوبنیت (Cloisite<sup>®</sup> Na<sup>+</sup>) با ظرفیت تغییر بار (CEC) برابر با (Nanocore Nanocore ۹۲/۶ mequiv/100 g آمان خریداری شد.

### تهیه فیلم

فیلمها بر اساس روش گزارش شده در مرجع (Abolghasemi et al., 2012) تولید شدند.  $3/5 \text{ g}$  CMC در  $200 \text{ ml}$  آب  $90^\circ \text{ C}$  مقطور حل شد و همراه با همزدن به مدت  $45$  دقیقه در دمای  $50^\circ \text{ C}$  حرارت داده شد. به میزان  $10\%$  وزنی / وزنی CMC در  $100 \text{ ml}$  آب مقطور به صورت جداگانه در  $90^\circ \text{ C}$  به مدت  $40$  دقیقه حرارت داده شد. مقادیر  $3, 5, 7$  و  $10\%$  نانورس (وزنی / وزنی) CMC در  $100 \text{ ml}$  آب مقطور پخش شده و به مدت  $10$  دقیقه تحت تیمار با امواج اولتراسوند قرار گرفت. محلول CMC و سوسپانسیون نانورس با همدهیگر مخلوط شده و در  $65^\circ \text{ C}$  به مدت  $15$  دقیقه همراه با همزدن نگهداری شد. سپس محلول PVA به آن اضافه شده و همزدن به مدت  $30$  دقیقه در دمای  $65^\circ \text{ C}$  ادامه یافت.  $1/4 \text{ ml}$  گلیسرول (Glyceral) به ازای  $100 \text{ g}$  CMC به محلول اضافه شده و همزدن در دمای  $65^\circ \text{ C}$  به مدت  $20$  دقیقه ادامه یافت. این محلول تا دمای  $40^\circ \text{ C}$  اتاق خنک شده و جهت خروج جبهه‌ای هوا به آرامی همزده شد و به مدت  $10$  دقیقه تحت تیمار با امواج اولتراسوند قرار گرفت. در ادامه، محلول تشکیل دهنده فیلم داخل پلیت شیشه‌ای ریخته شده و در  $55^\circ \text{ C}$  به مدت  $18$  ساعت خشک شد و فیلمها خشک شده از سطح آن جداسازی شدند. با توجه به سطح ثابت پلیت شیشه‌ای، حجمی از محلول فیلمها با ماده خشک برابر محاسبه شده و داخل پلیت ریخته شد تا در نهایت، ضخامت فیلمها تقریباً یکنواخت بوده و تأثیر ضخامت بر روی خواص فیلمها حذف شود.

### اندازه‌گیری ضخامت فیلم

برای تعیین ضخامت فیلمها از میکرومتر Alton (ساخت چین) با دقیقۀ  $0.01 \text{ mm}$  استفاده شد. اندازه‌گیری در  $5$  نقطۀ مختلف فیلم انجام گرفت و سپس از آنها میانگین گرفته شد.

### آزمون پراش اشعه X

آزمون پراش اشعه X توسط دستگاه Siemens D5000 (آلمان) انجام شد. برای انجام آزمون، ژنراتور تولید اشعه X در  $40 \text{ kV}$  و  $40 \text{ mA}$  تنظیم شد و نمونه‌ها در معرض اشعه X با طول موج  $0.154 \text{ nm}$  قرار گرفتند. تشعشعات بازتابشی از نمونه، در دمای محیط و در

1- Diffraction peak

2- Bragg's law

3- Scanning probe microscopy

دهی مرحله دوم تا دمای  $300^{\circ}\text{C}$ . از روی منحنی‌های دمایی مرحله دوم حرارت دهی به دست آمده، دمای ذوب و دمای انتقال شیشهای ( $T_g$ ) تعیین شد.  $T_g$  به عنوان نقطه میانه بین شروع و پایان تغییرات منحنی در جریان گرمایی در نظر گرفته شد.

### اندازه‌گیری رطوبت فیلمها

برای اندازه‌گیری میزان رطوبت، ابتدا نمونه‌های فیلم در دسیکاتور حاوی نیترات کلسیم (دمای  $23 \pm 2^{\circ}\text{C}$  و  $\text{RH} = 55\%$ ) به مدت ۲۴ ساعت مشروط شدند. دو گرم از هر کدام از نمونه‌های فیلم در آون  $105^{\circ}\text{C}$  تا رسیدن به وزن ثابت خشک شد. میزان رطوبت از این رابطه محاسبه می‌گردد:

$$\frac{W_o - W_f}{W_o} \times 100 = \text{میزان رطوبت \%} \quad (3)$$

$W_o$ : وزن اولیه قبل از خشک کردن

$W_f$ : وزن نمونه پس از خشک کردن

### تحلیل آماری

همه آزمونها در سه تکرار در قالب طرح کاملاً تصادفی انجام شدند. آنالیز واریانس (ANOVA) با استفاده از مدل خطی (G.L.M) نرم افزار آماری SPSS نسخه ۱۱.۵ در سطح احتمال  $0.05\%$  ( $P < 0.05$ ) و آزمون چند دامنه‌ای دانکن برای تأیید وجود اختلاف بین میانگینها انجام گرفت.

## نتایج و بحث

### آزمون پراش اشعه X

با بررسی فاصله بین لایه‌های کربستالی میتوان نحوه توزیع نانورس در ماتریکس پلیمری را تعیین نمود. تحقیقات متعدد نشان داده است که ویژگی‌های فیزیکوشیمیایی نانوکامپوزیتها، بستگی زیادی به نوع اختلاط پلیمر و نانورس دارد.

شکل ۱ منحنی‌های XRD نمونه‌های مختلف را نشان میدهد. دیفراکتограмها به ترتیب از پایین به بالا مربوط با این نمونه‌ها می‌باشند: پودر نانورس طبیعی<sup>۱</sup> (MMT)، فیلم آلیازی CMC-PVA و فیلم بیونانوکامپوزیت حاوی درصدهای مختلف نانورس (۳، ۵، ۷ و ۱۰ درصد).

نتایج حاکی از آن است که نانورس طبیعی پیک پراشی را در  $7^{\circ}\text{C}/\text{min}$  نشان میدهد. مطابق با قانون برآگ:  $2d \sin \theta = \lambda$ ، فاصله بین لایه‌ها (d) در نانورس طبیعی برابر با  $12/6$  آنگستروم محاسبه می‌شود.

5- Pristine MMT

عرض انتقال بخار آب قرار داشت، آهنگ انتقال بخار آب<sup>۲</sup> (WVTR) به دست آمد. نفوذپذیری به بخار آب<sup>۳</sup> (WVP) نیز طبق رابطه زیر به دست آمد.

$$WVP = \frac{WVTR}{P(R_i - R_r)} \cdot X \quad (2)$$

X: ضخامت فیلم (m)

P: فشار بخار آب خالص در  $25^{\circ}\text{C}$  (۳۱۶۹ Pa)

R<sub>1</sub>: رطوبت نسبی در دسیکاتور (%)

R<sub>2</sub>: رطوبت نسبی در داخل ویال (%)

### اندازه‌گیری زاویه تماس

برای اندازه‌گیری زاویه تماس از روش قطره چسبنده<sup>۴</sup> که یک روش رایج در تعیین ویژگی ترشوندگی سطوح جامد می‌باشد استفاده شد. ۵ میکرولیتر آب مقطر به صورت یک قطره بر روی سطح نمونه - ها قرار داده شد. توسط دوربین Canon MV50 با زوم ۶ برابر، از زاویه تماس قطره با فیلم، در زمان اولیه و پس از گذشت ۶۰ ثانیه عکس گرفته شد. سپس برای محاسبه زاویه تماس آب با سطح فیلم - ها از نرم افزار Adobe Acrobat 9 Professional محاسبه شد. مقداری از آب مقطر، در هر دو طرف قطره اندازه‌گیری شده و میانگین مقادیر به دست آمده در مورد هر قطره محاسبه شد.

### اندازه‌گیری خواص حرارتی

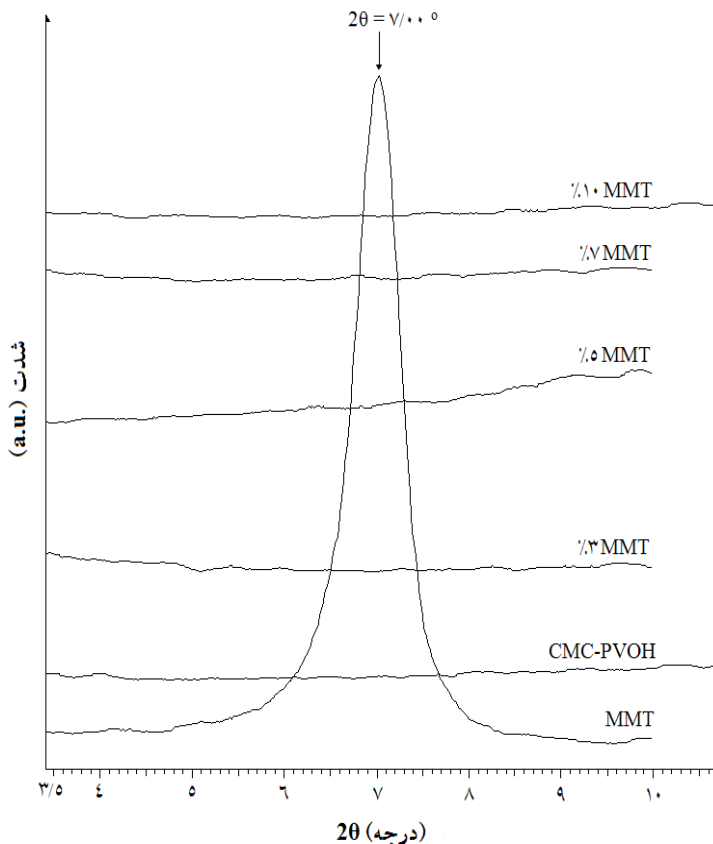
به منظور اندازه‌گیری خواص حرارتی از دستگاه کالریمتري روبشی افتراقی<sup>۵</sup> (DSC) (مدل F3 DSC 200) ساخت آلمان) استفاده شد. کالیبراسیون دستگاه توسط ایندیم و نقره صورت گرفت. ظرف آلومینیومی خالی به عنوان مرجع و اتمسفر نیتروژن به عنوان محیط خنثی و نیتروژن مایع به عنوان خنک کننده مورد استفاده قرار گرفت. نمونه‌هایی با وزن تقریبی  $5/6 \pm 1/1$  میلیگرم با سرعت  $10^{\circ}\text{C}/\text{min}$  اسکن شدند. سیکل حرارتی مورد استفاده برای هر نمونه به صورت زیر بود: مرحله اول حرارت دهی در گستره دمایی  $30^{\circ}\text{C}$  تا  $300^{\circ}\text{C}$  تحت جریان ثابت اتمسفر نیتروژن، نگهداری در دمای  $300^{\circ}\text{C}$  به مدت ۱ دقیقه در شرایط ایزوترم، خنک سازی سریع تا دمای  $30^{\circ}\text{C}$  و نگهداری در این دما به مدت ۱ دقیقه در شرایط ایزوترم، حرارت

1- Water vapor transmission rate

2- Water vapor permeability

3- Sessile drop

4- Differential Scanning Calorimetry



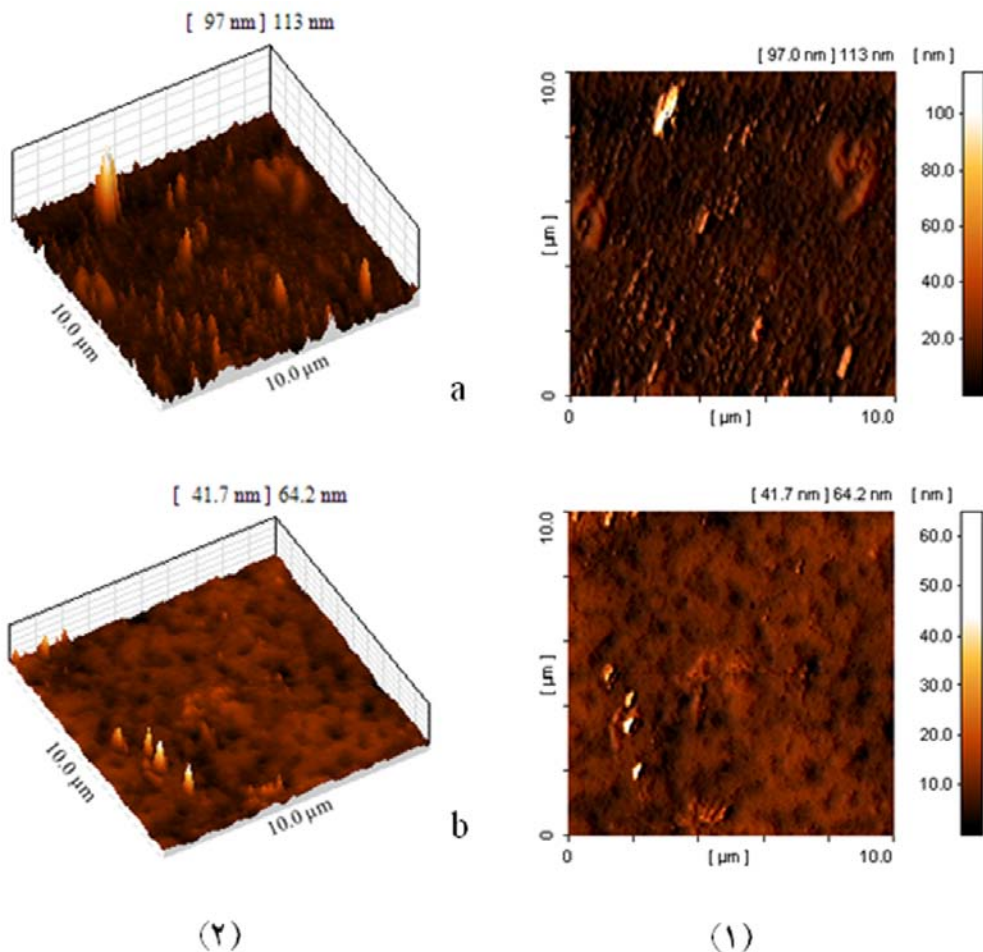
شکل ۱- منحنیهای XRD پودر نانورس طبیعی، فیلم آلیاژی CMC-PVA و فیلمهای بیونانوکامپوزیت حاوی درصدهای مختلف MMT

باشند (Vaia *et al.*, 2001). برهمکنشهای قوی بین گروههای هیدروکسیل و کربوکسیل CMC و گروههای هیدروکسیل PVA و نانورس، به نفوذ و پخش زنجیرهای این دو پلیمر در بین لایه‌های نانورس کمک می‌کند.

#### آزمون میکروسکوپ نیروی اتمی (AFM)

میکروسکوپ نیروی اتمی (AFM)، تکنیکی قدرتمند در مطالعه سطوح مواد بوده و اطلاعات دقیق کمی (میزان زبری) و کیفی (مورفولوژی) در زمینه توبوگرافی سطوح فیلمها در مقیاس نانومتر (که توسط روش‌های دیگر امکان پذیر نیست) به دست میدهد، با این تعریف که ثبت چگونگی قرارگیری و نشان دادن عمق و ارتفاع پستی و بلندیها در یک سطح خاص از ماده را توبوگرافی مینامند. تصاویر توبوگرافی فیلمهای CMC-PVA و فیلم نانوکامپوزیت حاوی نانورس تولید شده در این پژوهش در  $10 \times 10 \mu\text{m}$  Scan size در شکل ۲ نشان داده است. چنانچه تصاویر نشان میدهد، افروزن MMT به فیلم آلیاژی، ناهمواری سطح فیلم را کاهش داده و فیلم نانوکامپوزیت حاوی نانورس سطح یکنواختی را در مقایسه با فیلم آلیاژی دارا است. شاید علت این مسئله نظم یافته‌گی بیشتر شبکه تشکیل شده حاصل از دو پلیمر در حضور نانورس و کاهش غیریکنواختی سطحی فیلم باشد.

مطابق با قانون برآگ، هر چه زاویه پراش در دیفراکتوگرام حاصل کمتر باشد،  $\Delta$  بیشتر خواهد بود یعنی فاصله بین صفحات بیشتر شده و پخش شدن پلیمر بین صفحات ذرات نانورس بهتر رخ داده است. در صورتی که حالت لایه لایه رخ دهد، پیک در زاویه  $2\theta$  بسیار کم دیده شده و یا دیگر این پیک دیده نمی‌شود. در فیلمهای بیونانوکامپوزیت حاصل از این تحقیق، پیک پراشی برای MMT مشاهده نمی‌شود (شکل ۱). عدم ظهور پیک، نشان دهنده این نکته است که اختلاط CMC-PVA و نانورس در این نوع فیلمها، از نوع لایه لایه بوده است. این نتایج نشان میدهد که زنجیرهای پلیمر CMC و PVA قادرند وارد فضای بین لایه‌های نانورس شوند و لایه‌ها کاملاً در سرتاسر ماتریکس پخش گردند و اختلاط از نوع لایه لایه کامل حاصل شود. در اختلاط نانورس و پلیمر، چنانچه میزان سازگاری بین دو ماده بالا باشد، ذرات کربیستالی نانورس به طور کامل در ماتریکس فیلم پخش شده و با تشکیل حالت آمورف در فیلم، منجر به عدم مشاهده پیک پراش XRD می‌شود (Morgan & Gilman, 2003). بدین ترتیب در فیلمهای نانوکامپوزیت تولید شده در این پژوهش نیز با ایجاد حالت کاملاً آمورف در فیلمها، نواحی کربیستالی در دیفراکتوگرامها مشاهده نمی‌شود. نحوه اختلاط نانورس و پلیمر به عوامل زیادی بستگی دارد؛ از جمله مهمترین این عوامل وزن مولکولی پلیمر و برهمکنشهای بین نانورس و زنجیرهای پلیمر می-



شکل ۲- تصاویر توپوگرافی دو بعدی (۱) و سه بعدی (۲) فیلم آلیاژی (۱) و فیلم بیونانوکامپوزیت CMC-PVA (۲)

را با روش مذاب تولید و اثر مونت موریلوئنیت طبیعی (Cloisite Na<sup>+</sup>) و سه نوع مونت موریلوئنیت اصلاح شده Cloisite 30B، Cloisite 6A و 10A و 10A' نفوذپذیری به بخار آب در مقادیر یکسان در فیلمها بررسی کرده‌اند. ویژگی نفوذپذیری به بخار آب با افزودن هر چهار نوع MMT بهبود پیدا کرده است. مشاهده شده است که ویژگی نفوذپذیری به بخار آب فیلمها به میزان پخش نانورس بستگی دارد. در مطالعه‌ای دیگر بررسی اثر MMT بر روی WVP فیلم نشاسته (در غلظت صفر تا ۲۱٪)، کاهش WVP فیلمها را نشان داده است (Tang, 2008) ایجاد مسیر زیگزاگی و طویل برای عبور مولکولهای بخار آب دلیل این کاهش بیان شده است. Casariego و همکاران (۲۰۰۹) نیز کاهش در WVP فیلم کیتوزان را در مقدار ۱-۳٪ نانورس گزارش کرده‌اند. کاهش در WVP به حضور ذرات نانورس با نسبت زمینه بالا و ایجاد مسیر زیگزاگی و طویل برای نفوذ مولکولهای بخار آب نسبت داده شده است.

2- Aspect ratio

**نفوذ پذیری نسبت به بخار آب**  
 انتقال بخار آب از فیلمها به دو فاکتور حلالیت و نفوذپذیری مولکولهای آب در ماتریکس فیلم بستگی دارد (Gontard *et al.*, 1994a, 1994b, 1994c). همانطور که در جدول ۱ مشاهده می‌شود، افزودن MMT منجر به کاهش معنیداری در ویژگی نفوذ پذیری نسبت به بخار آب فیلمها شده است و با افزایش میزان WVP فیلمهای نانوکامپوزیت به طور معنیداری کاهش نشان داده است. WVP برای نمونه شاهد (CMC-PVA)  $1.17 \times 10^{-1}$  g/m.s.Pa محاسبه شده که در فیلم حاوی ۳، ۵ و ۷٪ MMT به ترتیب  $1.26 \times 10^{-1}$  و  $1.29 \times 10^{-1}$  g/m.s.Pa کاهش یافته است ( $P < 0.05$ ). در غلظت ۱۰٪ MMT فیلمهای نانوکامپوزیت، کمترین WVP برابر با  $1.83 \times 10^{-1}$  g/m.s.Pa را نشان داده‌اند. کاهش WVP با افزایش میزان نانورس، با نتایج مطالعات سایر محققین در مورد تأثیر نانورس بر روی WVP فیلمهای حاصل از سایر بیوپلیمرها مطابقت دارد. Park و همکاران (۲۰۰۲) نانوکامپوزیتهايی از نشاسته

1- Diffusivity

جدول ۱- WVP فیلمهای بر پایه CMC-PVA حاوی درصدهای مختلف نانورس

میزان MMT (گرم بر $\times 10^{-10}$ g/m. s. Pa)	WVP (CMC گرم)
$1/17 \pm 0/031^a$	صفر
$1/05 \pm 0/028^b$	۳
$0/94 \pm 0/024^c$	۵
$0/83 \pm 0/022^d$	۷
$0/83 \pm 0/028^d$	۱۰

\*: حروف غیر مشابه نشان دهنده وجود اختلاف در سطح٪ در آزمون دانکن است  
ضخامت تمام نمونهها برابر با ۱۰۰ میکرون میباشد.

صورت قطرات جداگانه بر روی سطح میماند و نمیتواند آن را ترکند. در این حالت، زاویه تماس بیشتر از ۹۰ درجه است. سطوح آب دوست (نظیر سطوح فیلمهای کربوهیدراتی) به دلیل تمایل به واکنش با مولکولهای آب باعث پهن شدن قطره‌ی آب بر روی سطح می‌شوند (زاویه تماس کمتر از ۹۰ درجه). هر چه آب دوستی سطح کمتر شود، قطره را وامیدارد به شکلی در آید که سطح کمتری را داشته باشد. به عبارت دیگر زاویه تماس افزایش می‌باید. مواد مورد استفاده در بسته‌بندی باید تا حد امکان حساسیت به رطوبت کمتری را دارا باشند. بنابراین هر چه زاویه تماس قطره‌ی آب با فیلم بسته بندی بیشتر باشد، آن ماده قابلیت بیشتری برای اهداف بسته‌بندی را دارا می‌باشد، و بالعکس. نتایج آزمون زاویه تماس آب مقطر با سطح فیلمهای CMC-PVA و نانوکامپوزیتها در زمان اولیه و پس از گذشت ۶۰ ثانیه و همچنین درصد کاهش زاویه تماس ۶۰ ثانیه پس از قطره‌گذاری، در جدول ۲ نشان داده شده است. نتایج نشان میدهد که زاویه تماس اولیه فیلمهای بیونانوکامپوزیت، به طور معنی داری بیشتر از فیلم آلایزر CMC-PVA می‌باشد. این مقدار در فیلم حاوی MMT٪ ۳/۴۹ درجه است و با افزایش میزان MMT به طور معنی داری افزایش یافته است (جدول ۲). به علاوه در صد کاهش زاویه تماس پس از ۶۰ ثانیه نیز با افزودن نانورس و افزایش مقدار نانورس در نانوکامپوزیتها، کاهش نشان داده است (جدول ۲).

برخلاف یافته‌های تحقیق حاضر، Cyrus و همکاران (۲۰۰۸) Tunc و همکاران (۲۰۰۷) و الماسی و همکاران (۲۰۱۰) نتایجی را در مورد کاهش زاویه تماس و افزایش ویژگی ترشوندگی سطحی فیلم‌های نانوکامپوزیت نشانسته - نانورس و گلوتن گندم - نانورس گزارش کرده‌اند. آنها این رفتار را به وجود گروههای OH- در مولکولهای نانورس نسبت داده و بیان کرد هاند که سدیم مونت موریلونیت، به دلیل دارا بودن گروههای هیدروکسیل مادهای آب دوست به حساب می‌آید و تمایل قطرات آب به برقراری پیوند با این گروههای باعث کاهش زاویه تماس در فیلمهای حاوی نانورس می‌شود.

هر چه لایه‌های نانورس در ماتریکس بیopolymer بیشتر و بهتر پخش شوند، این مسیرهای زیگزاگی بیشتر شده و بازدارندگی فیلم در برابر بخار آب و گازها بیشتر می‌شود. با توجه به این موضوع، اهمیت نوع و نحوه پخش نانورس در ماتریکس فیلم مشخص می‌شود. به عنوان مثال Yano و همکاران (۱۹۹۷) با مطالعه رابطه بین میزان نفوذپذیری پلیمر و نوع پخش لایه‌های نانورس، به این نتیجه رسیدند که بیشترین بازدارندگی زمانی حاصل می‌شود که پخش نانورس به صورت لایه لایه باشد. نتایج مشابهی توسط محققین دیگر در این Tang, 2008, Park et al., 2002 رابطه به دست آمده است

(Casariego et al., 2009, Casariego et al., 2009). از طرف دیگر میتوان کاهش نفوذپذیری به بخار آب را به ایجاد برهمکنشهای قوی بین نانورس و پلیمرهای تشکیل دهنده ماتریکس فیلم نسبت داد. در واقع این برهمکنشها پارامتر نفوذپذیری را که در تعیین میزان نفوذپذیری بسیار مؤثر است، تحت تأثیر قرار میدهند. به نظر میرسد که فاکتور حلالیت، نتوانسته است چندان در WVP موثر باشد چون MMT به علت داشتن گروههای آب دوست میتواند موجب افزایش حلالیت آب در ماتریکس پلیمری شود.

### زاویه تماس

یک معیار مناسب برای تعیین میزان حساسیت به رطوبت فیلم‌های بیopolymerی که از آب دوستی بالایی برخوردارند، آزمون زاویه تماس می‌باشد. در واقع آزمون زاویه تماس یکی از آزمونهای رایج در مورد تعیین میزان آب دوستی و قابلیت ترشوندگی سطحی فیلمها می‌باشد. به طور کلی نیروهای بین مولکولی را به دو دسته اصلی تقسیم می‌کنند: نیروی چسبندگی و نیروی چسبندگی سطحی یا پیوستگی. زاویه تماس معیاری است از نیروی چسبندگی سطحی به نیروی چسبندگی. در مورد اندازه‌ی زاویه تماس، دو حالت کلی را میتوان در نظر گرفت: ۱- چنانچه نیروی چسبندگی سطحی از نیروی چسبندگی بیشتر باشد، مایع بر روی سطح پهن شده و آن را تر می‌کنند. در این حالت، زاویه تماس کمتر از ۹۰ درجه است. ۲- اگر نیروی چسبندگی از نیروی چسبندگی سطحی بیشتر باشد، مایع به

جدول ۲- مقادیر زاویه تماس فیلمهای بر پایه CMC-PVA حاوی درصدهای مختلف نانورس\*

میزان نانورس (%)	زاویه تماس در زمان اولیه (درجه)	زاویه تماس پس از ۶۰ ثانیه (درجه)	کاهش زاویه تماس (%)
۱۱/۰ ± ۰/۸۲ <sup>a</sup>	۴۳/۵ ± ۰/۸۶ <sup>d</sup>	۴۹/۰ ± ۰/۸۳ <sup>d</sup>	صفرا
۱۰/۳ ± ۱/۱۱ <sup>a</sup>	۴۴/۲ ± ۱/۰۵ <sup>d</sup>	۴۹/۳ ± ۰/۹۴ <sup>d</sup>	۳
۷/۵ ± ۱/۱۵ <sup>b</sup>	۴۷/۹ ± ۰/۶۶ <sup>c</sup>	۵۱/۸ ± ۰/۰۹ <sup>c</sup>	۵
۶/۳ ± ۰/۸۵ <sup>b,c</sup>	۵۶/۶ ± ۱/۰۰ <sup>b</sup>	۶۰/۴ ± ۱/۳۴ <sup>b</sup>	۷
۵/۵ ± ۰/۶۷ <sup>c</sup>	۶۱/۵ ± ۰/۸۶ <sup>a</sup>	۶۵/۱ ± ۱/۲۳ <sup>a</sup>	۱۰

\*: حروف غیر مشابه نشان دهنده وجود اختلاف در سطح ۵٪ در آزمون دانکن است.

افزایش می‌باید. بدین ترتیب محدوده دمایی که یک پلیمر می‌تواند به عنوان یک بازدارنده در برابر گازها و بخار آب عمل کند به دمای انتقال شیشهای آن پلیمر مربوط است. در دماهای بالاتر از دمای انتقال شیشهای بینظیمی، حجم آزاد و تحرک زنجیرها افزایش می‌باید و فضاهای خالی افزایش یافته و در نتیجه نفوذپذیری بیشتر می‌شود. هر قدر دمای انتقال شیشهای پلیمر بالاتر باشد، آن در محدوده دمایی وسیعتری می‌تواند به عنوان پوشش و بازدارنده خوب عمل کند. ۲- دانستن  $T_g$  به منظور تعیین دمای لازم برای قالب گیری حرارتی و اکستروژن مهم است.

در منحنی DSC بیopolymer CMC، سه نوع انتقال فاز ذوب، تبلور (انتقال فاز های مرتبه اول) و انتقال شیشهای (انتقال فاز مرتبه دوم) مشاهده می‌شود که شاخص پلیمرهای نیمه کریستالی است (قبریزاده و همکاران، ۲۰۱۰، قبریزاده و الماسی، ۲۰۱۱). تبلور و ذوب به ترتیب بصورت پیکهای گرمaza و گرمگیر در منحنی DSC ظاهر می‌شوند و مربوط به نواحی بلوری پلیمر هستند و انتقال شیشهای بصورت تغییر تدریجی گرمگیر ظاهر می‌شود که مربوط به نواحی آمورف پلیمر می‌باشد. منحنیهای دمایی مرحله دوم حرارت دهی CMC فیلم در منحنی DSC ۱۰٪ پلی وینیل الكل و فیلمهای بیونانوکامپوزیت حاوی در همه منحنیها پیک گرمگیر ذوب مشاهده می‌شود. پیک

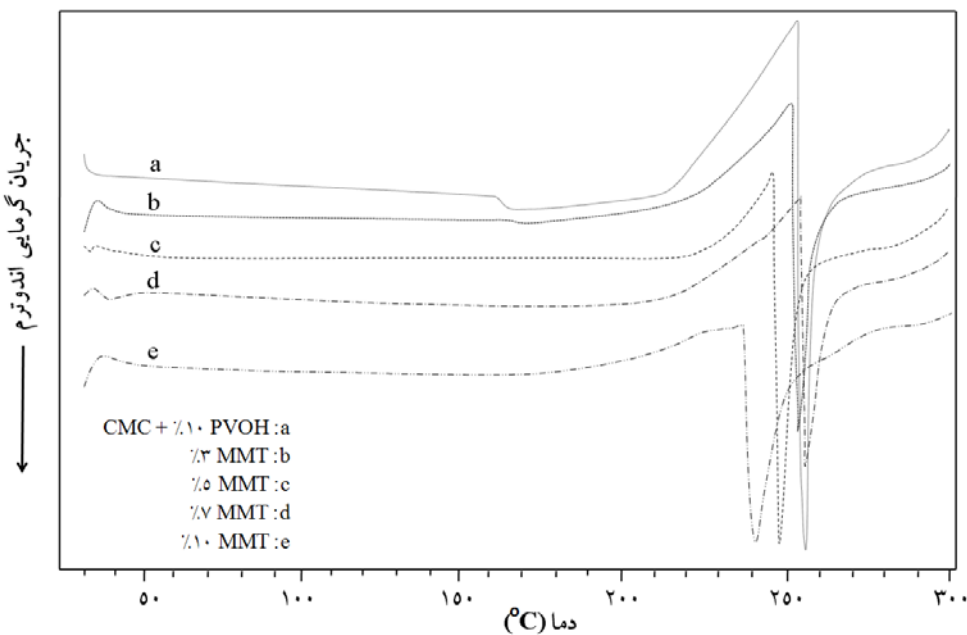
گرمگیر مربوط به فیلم کربوکسی متیل سلوزل - پلی وینیل الكل، در دمای  $1^{\circ}\text{C}$  ۲۵۵/۱ مشاهده شد. پدیده انتقال شیشهای در فیلم آلیاژی، کاملاً مشخص بوده و در  $3^{\circ}\text{C}$  ۱۶۴/۳ تعیین شد. چنان‌چه در شکل ۳ نیز مشخص است، افزودن نانورس به فیلم آلیاژی (به استثنای غلاظت ۷٪ نانوذره) باعث کاهش جزئی ذوب شده است. با افزایش میزان نانورس از صفر به ۳٪ پیک ذوب از  $1^{\circ}\text{C}$  به  $255/1^{\circ}\text{C}$  به  $252/3^{\circ}\text{C}$  منتقل شده است. از طرف دیگر با افزودن ۳٪ نانورس، شاهد افزایش جزئی دمای انتقال شیشهای هستیم، به طوری که  $T_g$  از  $164/3^{\circ}\text{C}$  برای فیلم آلیاژی به  $166/3^{\circ}\text{C}$  برای فیلم نانوکامپوزیت حاوی ۳٪ نانورس افزایش یافته است. علاوه بر این، وسعت ناحیه انتقال شیشهای نیز کاهش یافته است (شکل ۳).

تغییرات زاویه تماس قطره در سطح یک فیلم ناشی از ۱- جذب سطحی توسط گروههای عاملی آب دوست موجود در سطح فیلم و در نتیجه پخش قطره در سطح فیلم و ۲- نفوذ سطحی قطره به داخل فیلم (در نتیجه زبری سطح) می‌باشد. با توجه به حضور گروههای هیدروکسیل در نانورس، می‌توان چنین اذعان داشت که افزودن آب دوست در سطح فیلم خواهد شد و افزایش مقدار MMT افزوده شده، افزایش تعداد گروههای OH- موجود در سطح فیلم را در پی خواهد داشت. با در نظر گرفتن این نکته و با توجه به افزایش زاویه تماس قطره با افزودن MMT به فیلم، و افزایش زاویه با افزایش غلاظت نانورس، می‌توان نتیجه گرفت که عامل دوم مؤثر بر روی زاویه تماس، در مقایسه با عامل اول تأثیر بیشتری بر روی زاویه تماس قطره داشته است. به عبارت دیگر، کاهش منافذ و فضاهای خالی در سطح فیلم (زبری) در نتیجه افزودن نانورس، باعث جلوگیری از نفوذ سطحی قطره در سطح فیلم شده و با وجود از دیدار گروههای عاملی آب دوست، شاهد افزایش زاویه تماس قطره هستیم. (نتایج آزمون میکروسکوپ نیروی اتمی (AFM) در این پژوهش، کاهش زبری سطح فیلمها را با افزودن نانورس نشان داد که تأییدی بر بحثهای ارائه شده است).

### خواص حرارتی

مواد بیopolymerی به طور معمول شامل بخش‌های آمورف و کریستالی هستند و مقدار هر بخش بسته به نوع ماده می‌تواند متفاوت باشد. مواد آمورف و نیمه آمورف در دمای مرسمون به دمای انتقال شیشهای ( $T_{\text{g}}$ ) از حالت جامد شیشهای به شکل لاستیکی در می‌آیند. هر ماده دارای  $T_g$  ویژه خود می‌باشد. در دماهای بالاتر از  $T_g$  مواد پلیمری نرم و لاستیکی و در دماهای زیر آن به صورت شیشهای و سفت می‌باشند. پدیده انتقال شیشهای از جنبه‌های مختلف حائز اهمیت بالایی در مواد ستهندی می‌باشد (Wang *et al.*, 2003; Ghanbarzadeh *et al.*, 2008, T<sub>g</sub>- در دمای بالاتر از دمای

معمولانه نفوذپذیری فیلمهای پلیمری نسبت به گازها و بخار آب



شکل ۳- منحنیهای DSC حاوی درصدهای مختلف نانورس

باعث محدود شدن حرکت‌های سگمنتی و قطعه‌ای و متعاقب آن بالا رفتن دمای انتقال شیشه‌ای ( $T_g$ ) می‌شود. طبق مطالعات کتابخانه‌ای انجام یافته گزارشی مبنی بر اثر افزودن MMT در روی ویژگیهای حرارتی فیلم CMC یا فیلم آلیاژی CMC با پلیمری دیگر یافت نشد.  $T_g$  پودر CMC در حدود ۹۹ °C گزارش شده و بیان شده است که در فیلم CMC خالص این مقدار به حدود ۷۵ °C کاهش می‌یابد (قنززاده و الماسی، ۲۰۱۱). همچنین مشخص شده است که  $T_g$  فیلمهای بر پایه CMC به میزان پلاستی سایزر موجود در فیلم بستگی دارد و مقدار آن در برخی از فیلمهای CMC نرم شده، به حدود ۶۹–۷۱ °C کاهش می‌یابد (قنززاده و الماسی، ۲۰۱۱). Xu همکاران (۲۰۰۵) نانوکامپوزیتهای بر پایه استاتن نشاسته را با استفاده از چهار نوع نانورس (Cloisite 30B، Cloisite 10A، Cloisite 20A و Cloisite 25A) کردند. این محققان نشان داده‌اند که افزودن نانورس آلی به ماتریکس استاتن نشاسته، دمای انتقال شیشه‌ای فیلمها را بسته به نوع نانورس به اندازه ۱۴–۱۶ °C افزایش میدهد. این محققان بیان کرده‌اند که نفوذ پلیمر در فضای گالری نانورس، تحرک موضعی زنجیرهای استاتن نشاسته را محدود کرده و بدین ترتیب  $T_g$  را افزایش میدهد. در مطالعه‌ای دیگر کاهش دمای ذوب در نتیجه افزودن MMT به فیلم سلولز گزارش شده است (Delhom *et al.*, 2009). ایجاد تعییر در ناحیه بلوری در اثر افزودن MMT دلیل این پدیده بیان شده است. همچنین افزایش  $T_g$  و دمای ذوب در اثر افزودن MMT به فیلم بیوکامپوزیت نشاسته -کربوکسی متیل سلولز توسط محققین گزارش شده است (الماسی و همکاران، ۲۰۱۰). این محققین افزایش

افزایش  $T_g$  در نانوکامپوزیت، نشان دهنده این است که نفوذ لایه‌های نانورس در فضای بین زنجیرهای ماتریکس، در نواحی آمورف اتفاق افتاده است. قرارگیری لایه‌های نانورس در بین زنجیرهای و برقراری پیوند با آنها باعث افزایش نظم و انسجام ساختاری نواحی آمورف و تبدیل نواحی آمورف به قسمتهای بلوری می‌شود. از طرف دیگر با افزودن ۳٪ MMT، در اثر کاهش نظم زنجیرهای در ناحیه بلوری، دمای ذوب کاهش یافته است. این نتایج نشان میدهد که تأثیر نانورس در غلظت ۳٪ بر دو ناحیه آمورف و بلوری در این فیلم نسبتاً متفاوت است. در نانوکامپوزیتهای حاوی ۵٪ نانورس، پیک ذوب در دمای ۲۴۸/۶ °C مشاهده می‌شود. با افزایش مقدار نانورس به ۷ و ۱۰٪، دمای ذوب به ترتیب برابر با ۲۴۰/۳ °C و ۲۵۵/۱ °C محسوبه شد. در منحنی دمایی نانوکامپوزیتهای حاوی ۵٪ و ۱۰٪  $T_g$  مشاهده نمی‌شود. به طور کلی میتوان گفت دلیل اصلی کاهش دمای ذوب با میزان نانورس درون نانوکامپوزیت، کاهش بلورینگی ساختار نانوکامپوزیت بخاطر ورود نانورس و برهم ریختن ساختار بلوری آن می‌باشد. لذا با افزایش نانورس دمای ذوب هم کم می‌شود. همچنین دلیل اصلی افزایش دمای انتقال شیشه‌ای و حذف پدیده انتقال شیشه‌ای با ورود نانورس درون نانوکامپوزیت را می‌توان بوسیله تئوری حجم آزاد<sup>۱</sup> بیان کرد. بر اساس این تئوری، با ورود ذرات معدنی نانورس به درون شبکه پلیمری، حجم آزاد برای حرکت‌های قطعه‌ای<sup>۲</sup> زنجیرهای اصلی پلیمر کاهش یافته و در نتیجه

1- Free Volume Theory  
2- Segmental Motions

نانورس میتواند نفوذپذیری نسبت به بخار آب فیلم آلیاژی کربوکسی متیل سلوزل-پلی وینیل الکل را کاهش دهد. افزایش زاویه تماس فیلم آلیاژی در اثر افزودن نانورس حاکی از کاهش ویژگی آب دوستی سطحی آن بود. نتایج حاصل از DSC افزایش دمای انتقال شیشهای را در مقدار ۳ درصد نانوذره افزوده شده نشان داد. با افزایش در مقدار نانورس، پدیده انتقال شیشهای مشاهده نشد. دمای ذوب فیلمهای نانوکامپوزیت در هیچ کدام از سطوح نانورس افزوده شده نسبت به فیلم آلیاژی بیشتر نبود که نشان دهنده عملکرد متفاوت MMT در نواحی کریستالی و آمورف فیلم CMC-PVOH میباشد.

دمای انتقال شیشهای را از  $162/1^{\circ}\text{C}$  به  $174/3^{\circ}\text{C}$  در اثر افزایش مقدار MMT از صفر به ۳٪ در فیلم گزارش کردند. نتایج حاصل از تحقیق این محققین حاکی از آن است که در مقادیر ۵ و ۷ درصد نانورس افزوده شده، پدیده انتقال شیشهای در فیلمها مشاهده نمی‌شود.

### نتیجه گیری

نتایج حاصل از این پژوهش نشان داد که نانورس در غلظتهاي افزوده شده ساختار لایه لایه فیلمهای نانوکامپوزیت را باعث میشود.

### منابع

- Abolghasemi fakhri, L., Ghanbarzadeh, B., Dehghannia, J. & Entezami, A.A., 2012, The Effects of Montmorillonite and Cellulose Nanocrystals on Physical Properties of Carboxymethyl Cellulose/Polyvinyl Alcohol Blend Films. *Iranian Journal of Polymer Science and Technology*, 24(6), 455-466.
- Ahola, S., Salmi, J., Johansson, L.S., Laine, J. & Österberg, M., 2008, Model films from native cellulose nanofibrils; preparation, swelling, and surface interactions. *Biomacromolecules*, 9, 1273-1282.
- Almasi, H., Ghanbarzadeh, B. & Entezami, A.A., 2010, Physicochemical properties of starch-CMC-nanoclay biodegradable films. *International Journal of Biological Macromolecules*, 46, 1-5.
- ASTM. 1995. Standard test methods for water vapor transmission of material. E96-95. Annual book of ASTM, Philadelphia, PA: American Society for Testing and Materials.
- Ayrancı, E. & Tunc, S., 2001, The effect of fatty acid content on water vapor and carbon dioxide transmissions of cellulose-based edible films. *Food Chemistry*, 72, 231-236.
- Bondeson, D. & Oksman, K., 2007, Polylactic acid/cellulose whisker nanocomposites modified by polyvinyl alcohol. Composites part A: Applied Science and Manufacturing, 38(12), 2486-2492.
- Casariego, A., Souza, B.W.S., Cerqueira, M.A., Teixeira, J.A., Cruz, L., Diaz, R. & Vicente, A.A., 2009, Chitosan/clay films' properties as affected by biopolymer and clay micro/nanoparticles' concentrations. *Food Hydrocolloids*, in press paper.
- Chen, L., Imam, S.H., Gordon, S.H. & Greene, R.V., 1997, Starch- polyvinyl alcohol crosslinked film- performance and biodegradation. *Journal of Environmental Polymer Degradation*, 5(2), 111-117.
- Cho, M.S., Choi, S.H., Nam, J.D. & Lee, Y., 2004. Preparation and mechanical properties of nanocomposite of cellulose diacetate/mentmorillonite. *Polymer (Korea)*, 28, 551-555.
- Choi, Y. & Simonsen, J., 2006, Cellulose nanocrystal-filled carboxymethyl cellulose nanocomposites. *Journal of Nanoscience and Nanotechnology*, 6(3), 633-639.
- Cyras, V.P., Manfredi, L.B., Ton, T.M. & Vazquez, A., 2008, Physical and mechanical properties of thermoplastic starch/montmorillonite nanocomposite films. *Journal of Carbohydrate Polymers*, 73, 55-63.
- Dean, K.M., Do, M.D., Petinakis, E. & Yu, L., 2008, Key interactions in biodegradable thermoplastic starch/poly(vinyl alcohol)/montmorillonite micro- and nanocomposites. *Composites Science and Technology*, 68, 1453-1462.
- Debeaufort, F. & Voilley, A., 1997, Carboxymethylcellulose-based edible films and coatings: 2. Mechanical and thermal properties as a function of plasticizer content. *Journal of Food Engineering*, 61, 459-466.
- Delhom, C.D., White-ghoorahoo, L.A. & Pang, S.S., 2009, Development and characterization of cellulose/clay nanocomposites. Composites: Part B, xxx-xxx.
- Flieger, M., Kantorova, M., Prell, A., Rezanka, T. & Votruba, J., 2003, Biodegradable plastics from renewable sources. *Folia Microbiologica*, 48(1), 27-44.
- Follain, N., Joly, C., Dole, P. & Bliard, C., 2005, Properties of starch based blends. Part 2. Influence of poly vinyl alcohol addition and photocrosslinking on starch based materials mechanical properties. *Carbohydrate Polymers*, 60, 185-192.
- Ghanbarzadeh, B., Oromiehi, A.R. & Razmi Rad, E., 2008, Studies on glass transition temperature of mono and bilayer Protein Films plasticized by glycerol and olive oil. *Journal of Applied Polymer*, 109(5), 2848-2854.
- Ganbarzadeh, B., Almasi, H. & Entezami, A.A., 2010, Physical properties of edible modified starch / carboxymethyl

- cellulose films. Innovative Food Science and Emerging Technologies, 1-30.
- Ghanbarzadeh, B. & Almasi, H., 2011, Physical properties of edible emulsified films based on carboxymethyl cellulose and oleic acid. International Journal of Biological Macromolecules, 48, 44-49.
- Gontard, N. & Guilbert, S., 1994a, Biopackaging; food packaging and preservation, Blackie Academic and Professional, London.
- Gontard, N. & Guilbert, S., 1994b, Biopackaging: technology and properties of edible and/or biodegradable material of agricultural origin. In: Mathlouthi, M. ed. Food packaging and preservation. Blackie Academic and Professional. London.
- Gupta, R.K. & Bhattacharya, S.N., 2008, Polymer-clay nanocomposites: current status and challenges. Indian Institute of Chemical Engineers, 50(3), 242-267.
- Huang, M. & Yu, J., 2006, Structure and properties of thermoplastic corn starch/clay nanocomposites. Journal of Applied Polymer Science, 99, 170-176.
- Lu, Ch. & Mai, Y.W., 2007, Permeability modeling of polymer-layered silicate nanocomposites. Composite Science and Technology, 67, 2895-2902.
- Mao, L., Imam, S., Gordon, S., Cinelli, P. & Chiellini, E., 2000, Extruded cornstarch- glycerol-polyvinyl alcohol blends: Mechanical properties, morphology, and biodegradability. Journal of Polymers and Environment, 8(4), 205-211.
- Mc Glashan, S.A. & Halley, P.J., 2003, Preparation and characterization of biodegradable starch-based nanocomposite materials. Polymer International, 52, 1767-1773.
- Mohanty, A.K., Misra, M. & Hinrichsen, G., 2000, Biofibres, biodegradable polymer and composites: An overview. Journal of Macromolecular Materials and Engineering, 276/277, 1-24.
- Morgan, A.B. & Gilman, J.W., 2003, Characterization of poly-layered silicate (clay) nanocomposites by transmission electron microscopy and X-ray diffraction: a comparative study. Journal of Applied Polymer Science, 87, 1329- 1338.
- Otey, F., Mark, A., Mehlretter, C. & Russell, C., 1974, Starch-based film for degradable agricultural mulch. Industrial and Engineering Chemistry Product Research and Development, 13, 90-95.
- Park, H.J., Weller, C.L., Vergano, P.J. & Testin, R.F., 1993, Permeability and mechanical properties of cellulose based edible films. Journal of Food Science, 58(6), 1361-1364.
- Park, H.M., Li, X., Un, C.Z., Park, C.Y., Cho, W.J. & Ha, C.S., 2002, Preparation and properties of biodegradable thermoplastic starch/clayhybrids. Macromolecule Materials and Engineering, 287, 553-558.
- Park, H.M., Lee, W.K., Park, C.Y., Cho, W.J. & Ha, C.S., 2003, Environmentally friendly polymer hybrids. 1. Mechanical, thermal, and barrier properties of thermoplastic starch/clay nanocomposites. Journal of Material Science, 38, 909-915.
- Park, H.M., Liang, X., Mohanty, A.K., Misra, M. & Drzal, L.T., 2004, Effect of compatibilizer on nanostructure of the biodegradable cellulose acetate/organoclay nanocomposites. Macromolecules, 37, 9076-9082.
- Rhim, J.W., & Perry, K.W.N., 2007, Natural biopolymer-based nanocomposite films for packaging applications. Critical Reviews in Food Science and Nutrition, 47, 411-433.
- Simon, J., Muller, H.P., Koch, R. & Muller, V., 1998, Thermoplastic and biodegradable polymers of cellulose. Polymer Degradation and Stability, 59, 107-115.
- Sorrentino, A., Gorrasi, G. & Vittoria, V., 2007, Potential perspectives of bionanocomposites for food packaging applications. Trends in Food Science and Technology, 18, 84-95.
- Tang, X., 2008, Use of extrusion for synthesis of starch-clay nanocomposites for biodegradable packaging films. PhD thesis, Food science institute, College of agriculture, Kansas state university.
- Tunc, S., Angellier, H., Cahyana, Y., Chalier, P., Gontard, N. & Gastaldi, E., 2007, Functional properties of wheat gluten/montmorillonite nanocomposite films processed by casting. Journal of Membrane Science, 289, 159-168.
- Vaia, R.A. & Giannelis, E.P., 2001, Liquid crystal polymer nanocomposites: direct intercalation of thermotropic liquid crystalline polymers into layered silicates. Polymer, 42, 1281-1285.
- Wang, Y., Rakotonirainy, A.M. & Padua, G.W., 2003, Thermal behavior of zein-based biodegradable films. Starch, 55, 25-29.
- Wilhelm, H.M., Sierakowski, M.R., Souza, G.P. & Wypych, F., 2003, Starch films reinforced with mineral clay. Carbohydrate Polymer, 52, 101-110.
- Xu, Y., Zhou, J. & Hanna, M.A., 2005, Melt-intercalation starch acetate nanocomposite forms as affected by type of organoclay. Cereal Chemical, 82, 105-110.
- Yano, K., Usuki, A. & Okada, A.J., 1997, Synthesis and properties of polyimideclay hybrid films. Polymer Science, 35, 89-94.
- Zhiqiang, L., Yi, F. & Xiao-su, Y., 1999, Thermoplastic starch/pval compounds: preparation, processing, and properties. Journal of Applied Polymer Science, 74, 2667-2673.